



Instituto Federal de Educação, Ciência e Tecnologia da Paraíba

Campus João Pessoa

Tec. em Automação Industrial – TEC.0252 Controle Digital

Profº: Ademar Gonçalves da Costa Júnior, Dr.

PROJETO 3 - CONTROLE DIGITAL

Amadeus de Arandas - 20181450020

Carlos Daniel da Silva - 20201450011

Marcos Augusto Belinski - 20191450019

Samara Teixeira do Nascimento - 20192450005

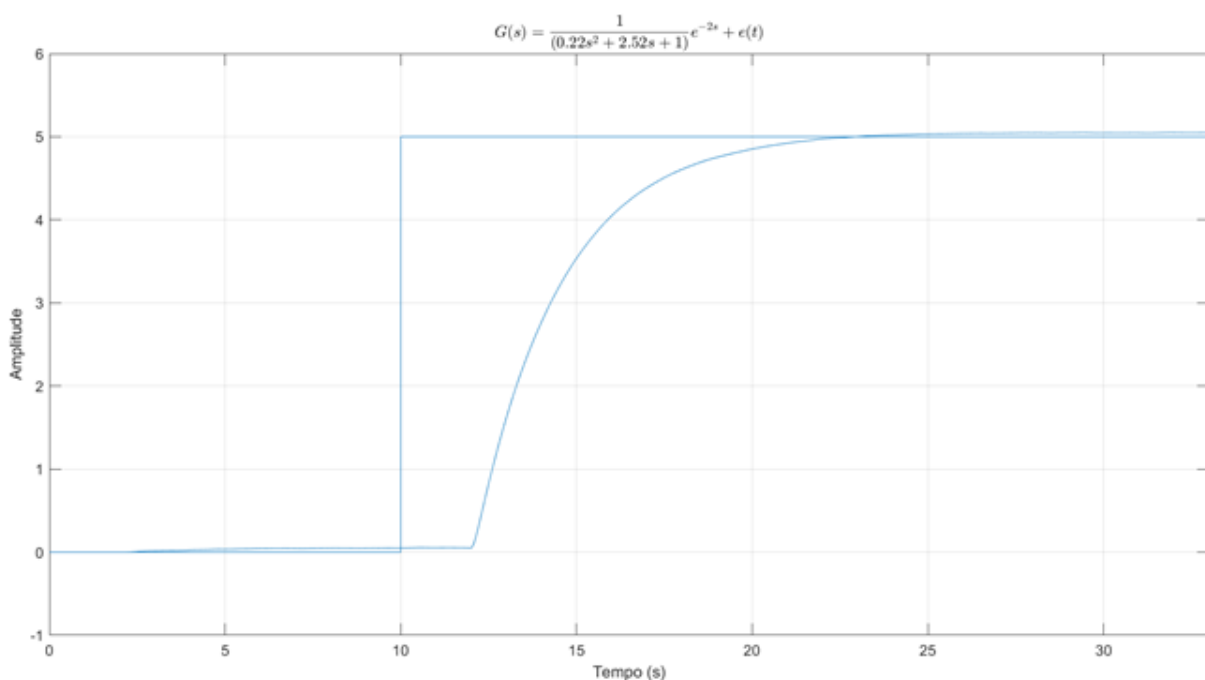
João Pessoa - PB

1. Com o uso de técnicas de identificação de modelos matemáticos, obtenham modelos matemáticos de primeira ordem e de segunda ordem que possam representar o comportamento matemático do circuito elétrico em questão (deverão usar os métodos apresentados, justificando seu uso ou não). Escolham uma faixa de operação entre 0 e 5 V e validem o modelo matemático utilizando índices estatísticos. Também deve ser justificado qual o tempo de amostragem a ser utilizado no projeto.

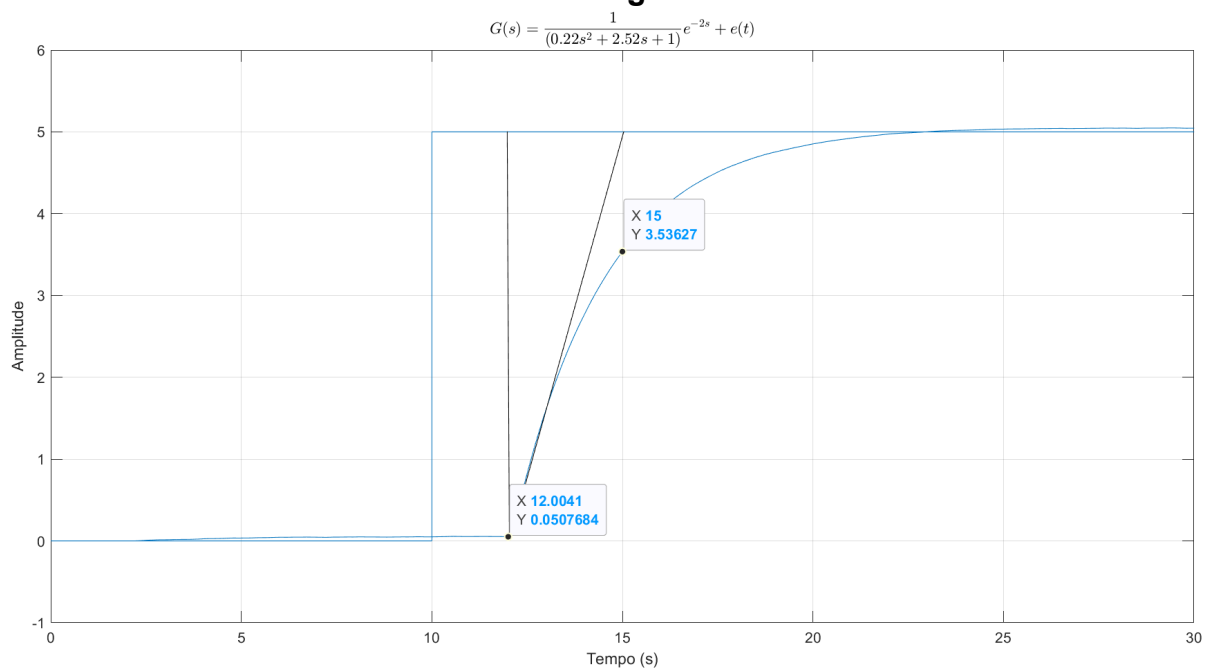
Faixa de tensão escolhida de 5 V

- Circuito simulado

$$G(s) = \frac{1}{0,22s^2 + 2,52s + 1} e^{(-2s)} + e(t)$$



Método de Ziegler-Nichols



$$TD = 2$$

$$Tp = 3$$

segundos → Tempo de atraso obtido a partir do gráfico

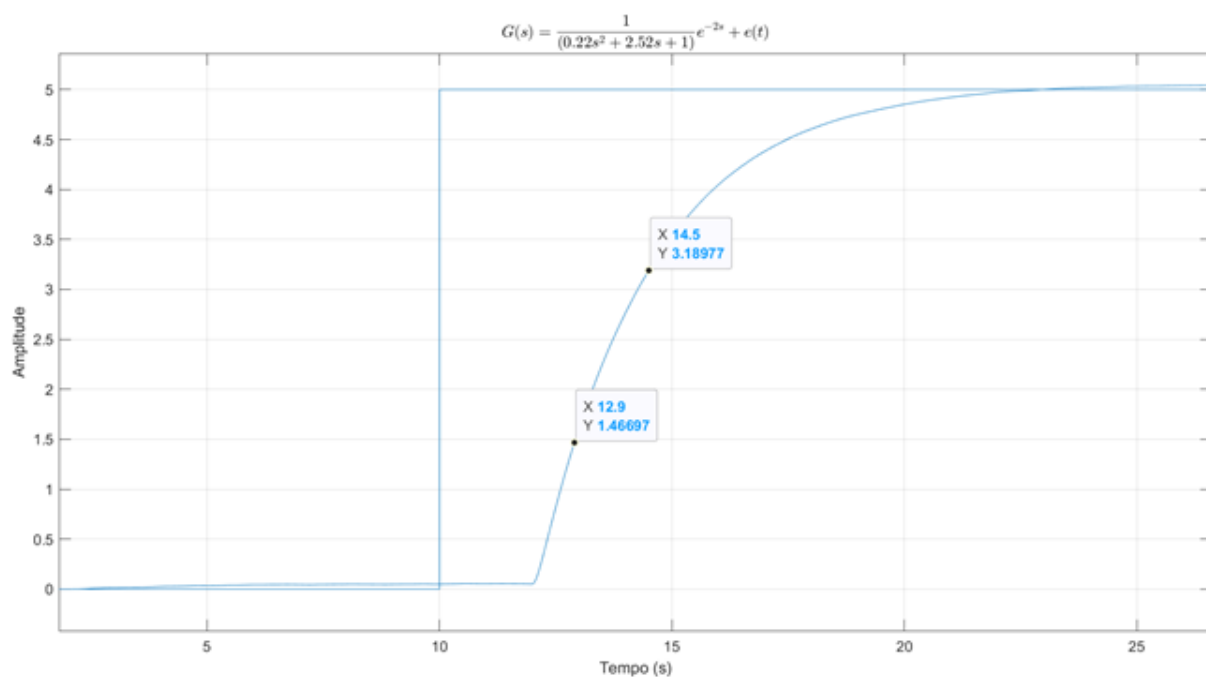
Td= 2 segundos → Tempo de atraso obtido a partir do gráfico

T= 3 segundos → Constante de tempo obtido através da reta tangente no gráfico

Substituindo os valores obtidos pelo gráfico na fórmula do método de Ziegler-Nichols, temos:

$$G(s) = \frac{Y(s)}{U(s)} = \frac{1}{3s+1} e^{(-2s)} = \frac{0,33}{s+0,33} e^{(-2s)}$$

Método de Smith de 1ª Ordem



$$G(s) = \frac{Y(s)}{U(s)} = \frac{K}{1+sT} e^{-sT_d}$$

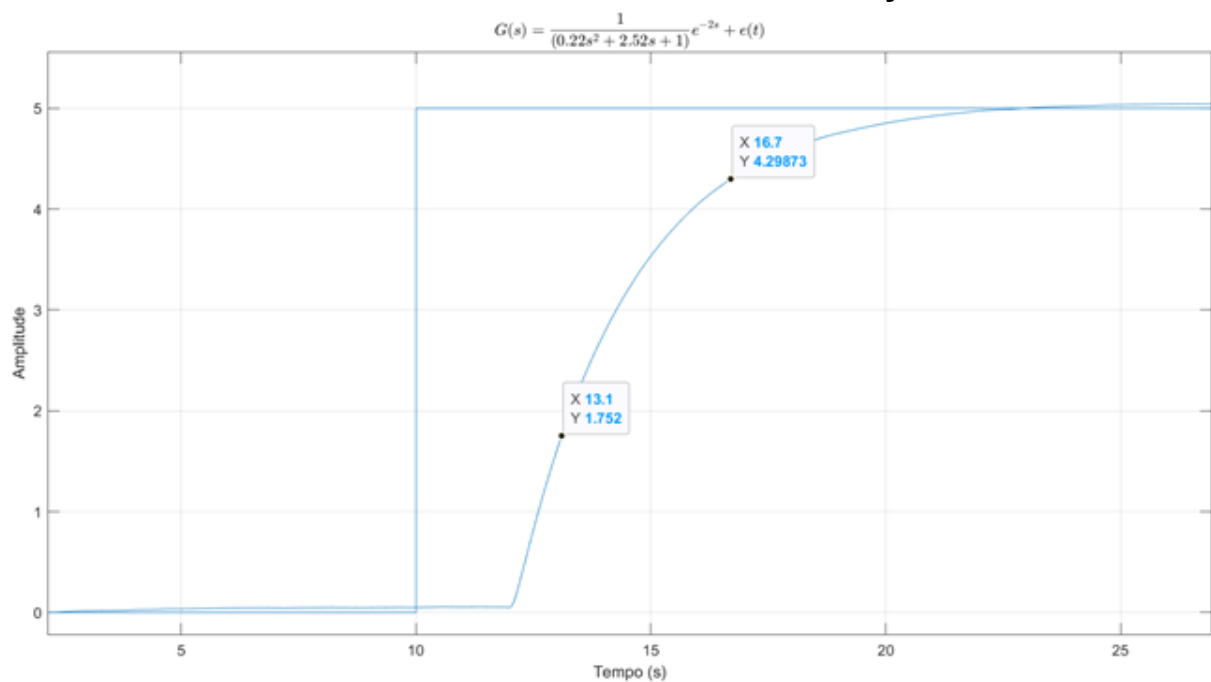
$$T = 1,5(14,5 - 12,9) = 1,5(1,6) = 2,4 \text{ segundos}$$

$$T_D = (14,5 - 10) - 2,4 = 2,1 \text{ segundos}$$

- Substituindo os valores obtidos pelo gráfico na fórmula do método de Smith de 1ª Ordem, temos:

$$G(s) = \frac{Y(s)}{U(s)} = \frac{1}{2,4s+1} e^{(-2,1s)} = \frac{0,42}{s+0,42} e^{(-2,1s)}$$

Método de Sundaresan-Krishnaswamy



$$G(s) = \frac{Y(s)}{U(s)} = \frac{K}{1+sT} e^{-sT_d}$$

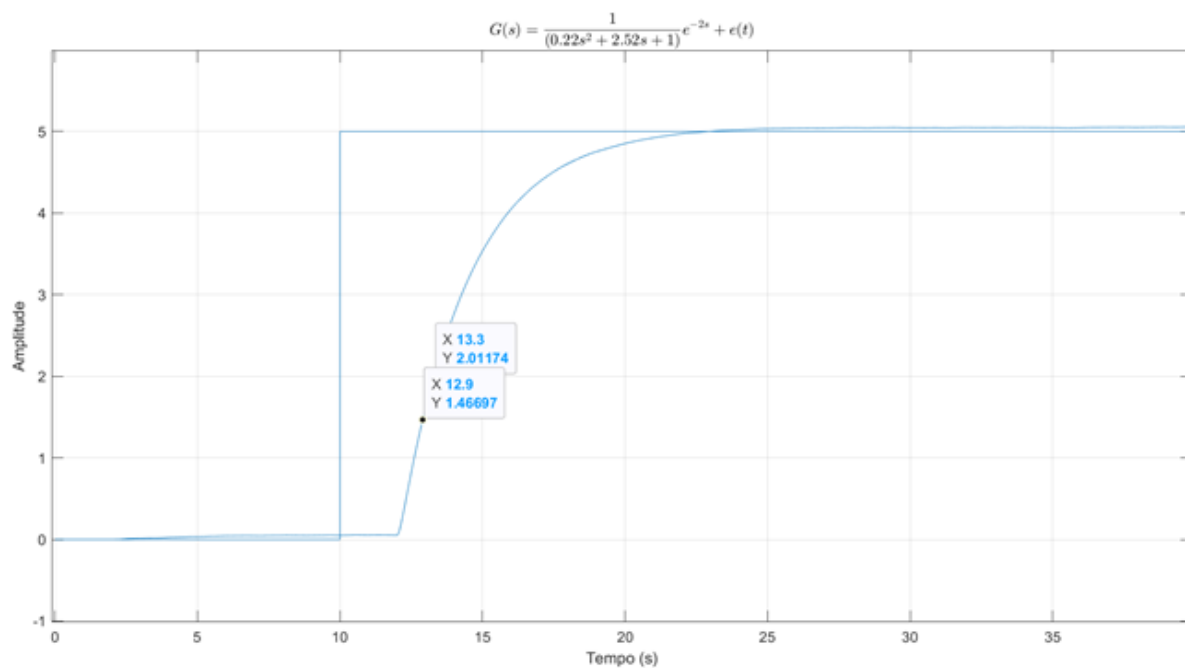
$$T = 0,67(16,7 - 13,1) \cong 2,4 \text{ segundos}$$

$$T_D = (1,3 \cdot 3,1) - (0,29 \cdot 6,7) \cong 2,1 \text{ segundos}$$

Substituindo os valores obtidos pelo gráfico na fórmula do método de Sundaresan-Krishnaswamy, temos:

$$G(s) = \frac{Y(s)}{U(s)} = \frac{1}{2,4s+1} e^{(-2,1s)} = \frac{0,42}{s+0,42} e^{(-2,1s)}$$

Método de Broida



$$G(s) = \frac{Y(s)}{U(s)} = \frac{K}{1+sT} e^{-sT_d}$$

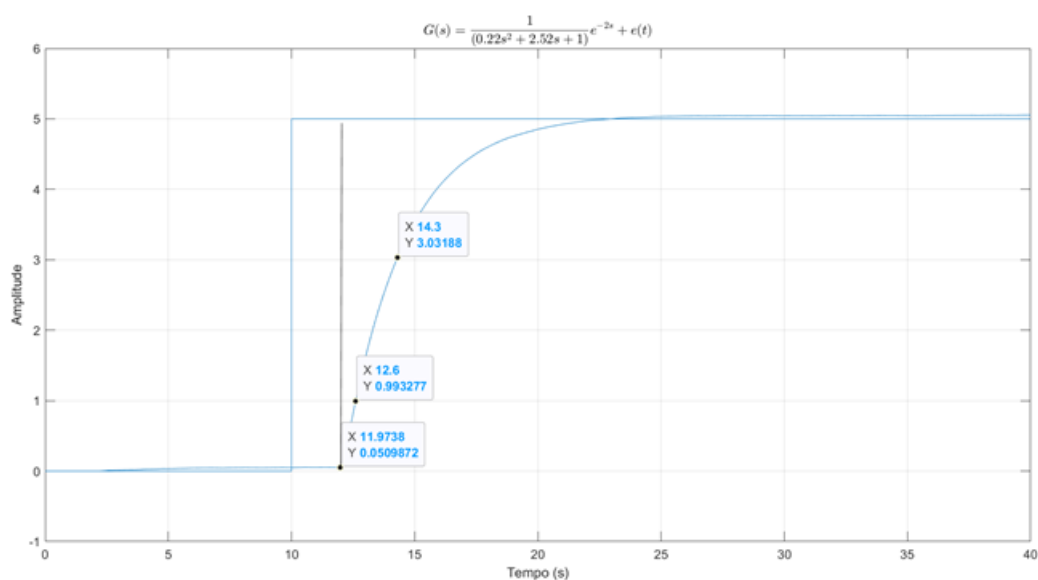
$$T = 5,5(13,3 - 12,9) = 2,2 \text{ segundos}$$

$$T_D = (2,8*2,9) - (1,8*3,3) \cong 2,2 \text{ segundos}$$

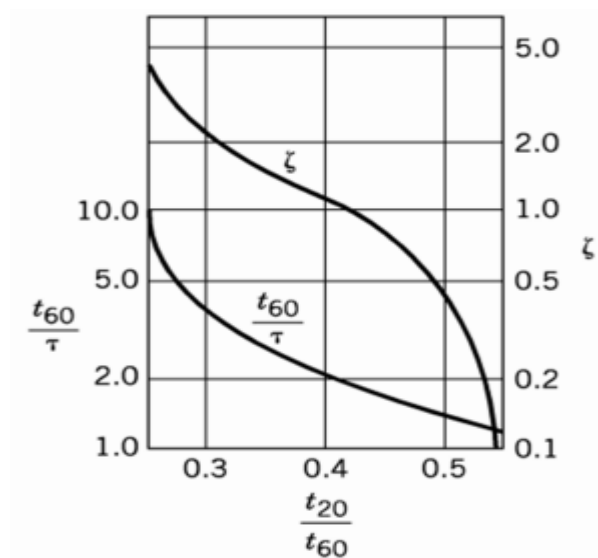
- Substituindo os valores obtidos pelo gráfico na fórmula do método de Broida, temos:

$$G(s) = \frac{Y(s)}{U(s)} = \frac{1}{2,2s+1} e^{(-2,2s)} = \frac{0,45}{s+0,45} e^{(-2,2s)}$$

Método de Smith de 2ª Ordem

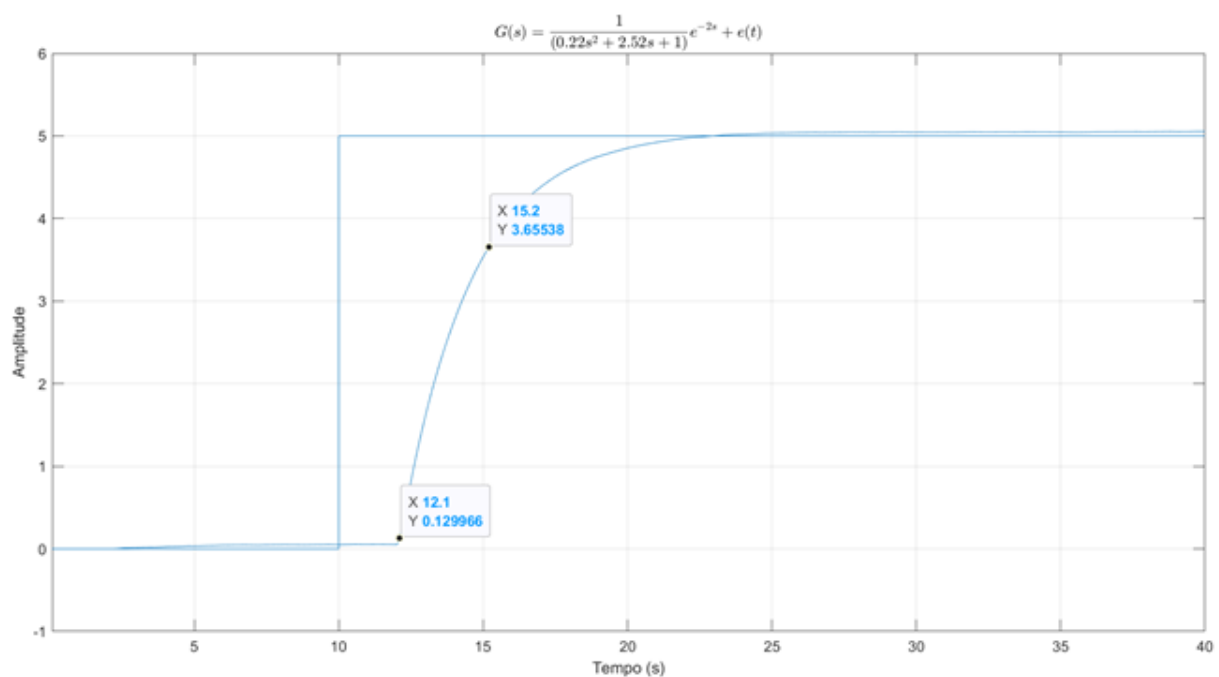


$t_{20\%} = 0,6$ segundos ; $t_{60\%} = 2,3$ segundos; $t_{20\%}/t_{60\%} = 0,26$; $\zeta = 2,4$;
 $t_{60\%}/\tau = 4,2$; $\tau = 1,83$; TD = 2.1 segundos ;



$$G(s) = \frac{Y(s)}{U(s)} = \frac{K}{\tau s^2 + 2\zeta\tau s + 1} e^{-(sT_d)} = \frac{1}{1,83s^2 + 8,42s + 1} e^{-(2,1s)}$$

Método de Harriot



$$t_0 = 12 - 12 = 0$$

$$t_{73\%} = 15,2 - 12 = 3,2$$

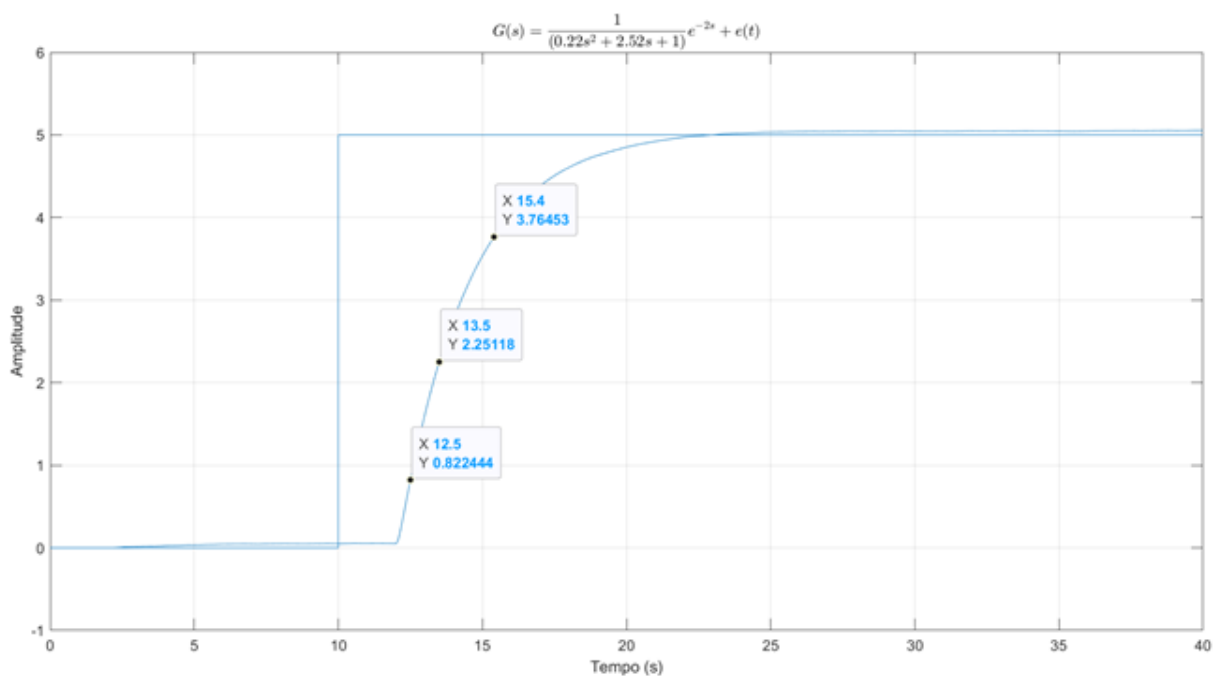
$$t_1 = t_0 + \frac{t_{73} - t_0}{2,6} = 0 + \frac{3,2}{2,6} = 0,12 \text{ segundos}$$

- Utilizando o gráfico temos que $y_1 = 0,13$, logo:

$$\frac{y_1}{y_{\infty}} = \frac{0,13}{5} = 0,026$$

- Não foi possível estimar os valores de τ_{H1} e τ_{H2} utilizando a curva de Harriot, pois o valor de y_1/y_∞ foi menor que 0,2 que é o mínimo presente na curva de Harriot.

Método de Mollenkamp



$t_1 = 0,5$ segundos

$t_2 = 1,5$ segundos

$t_3 = 3,4$ segundos

$$x = \frac{t_2 - t_1}{t_3 - t_1} = \frac{1,5 - 0,5}{3,4 - 0,5} = 0,34$$

$$\xi = \frac{0,0805 - 5,547(0,475 - x)^2}{x - 0,356} = \frac{0,0805 - 5,547(0,018)}{-0,016} = \frac{-0,019}{-0,016} = 1,19$$

Como $\xi \geq 1$, temos:

$$f_2(\xi) = 2,6\xi - 0,6 = 2,49$$

$$\omega_n = \frac{f_2(\xi)}{t_3 - t_1} = \frac{2,49}{2,9} = 0,86 \text{ rad/s}$$

$$f_3(\xi) = 0,922(1,66)^\xi = 0,922(1,66)^{1,19} = 1,69$$

$$Td = t_2 - \frac{f_3(\xi)}{\omega_n} = 1,5 - \frac{1,69}{0,86} = -0,47$$

Como $\xi \geq 1$, temos:

$$\tau_{1,2} = \frac{\xi \pm \sqrt{\xi^2 - 1}}{\omega_n}$$

$$\tau_1 = \frac{1,19 + \sqrt{1,19^2 - 1}}{0,86} = 2,1$$

Resultados com os modelos

Rotina no Matlab para plotagem dos modelos matemáticos:

```
figure()
```

```
plot(tout,dados_simulacao)
```

```
legend('Sinal de entrada','sinal de saída','Ziegler-Nichols','Smith 1a  
ordem','Sundaresan','Broida','Smith 2a ordem','Mollenkamp')
```

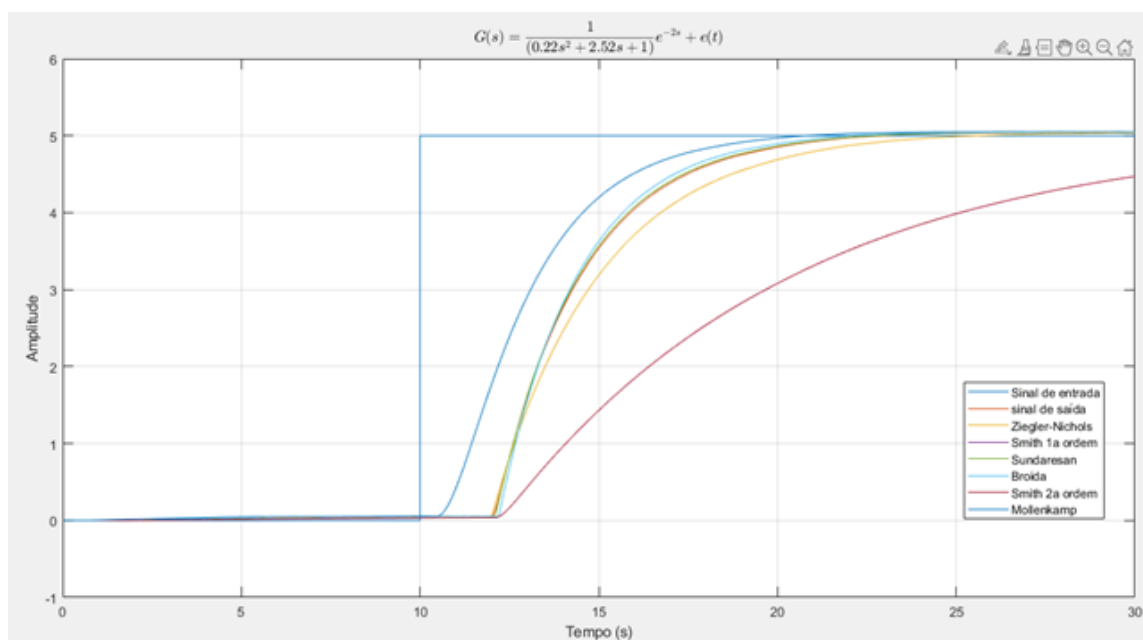
```
axis([0 30 -1 6])
```

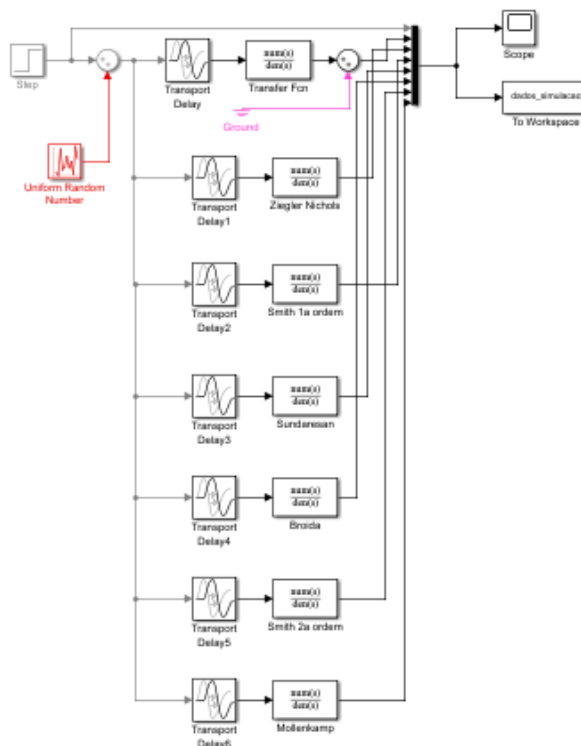
```
grid on
```

```
xlabel('Tempo (s)')
```

```
ylabel('Amplitude')
```

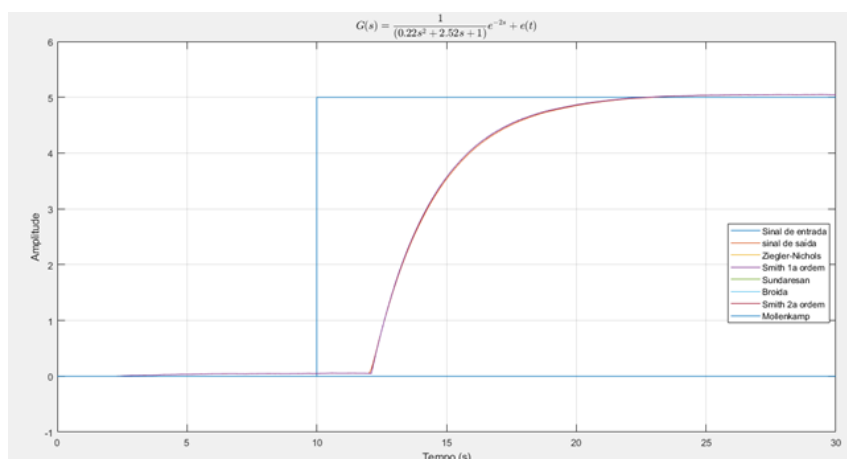
```
title('$$G(s)=\frac{1}{(0.22s^2+2.52s+1)}e^{-2s}+e(t)$$','interpreter','latex')
```

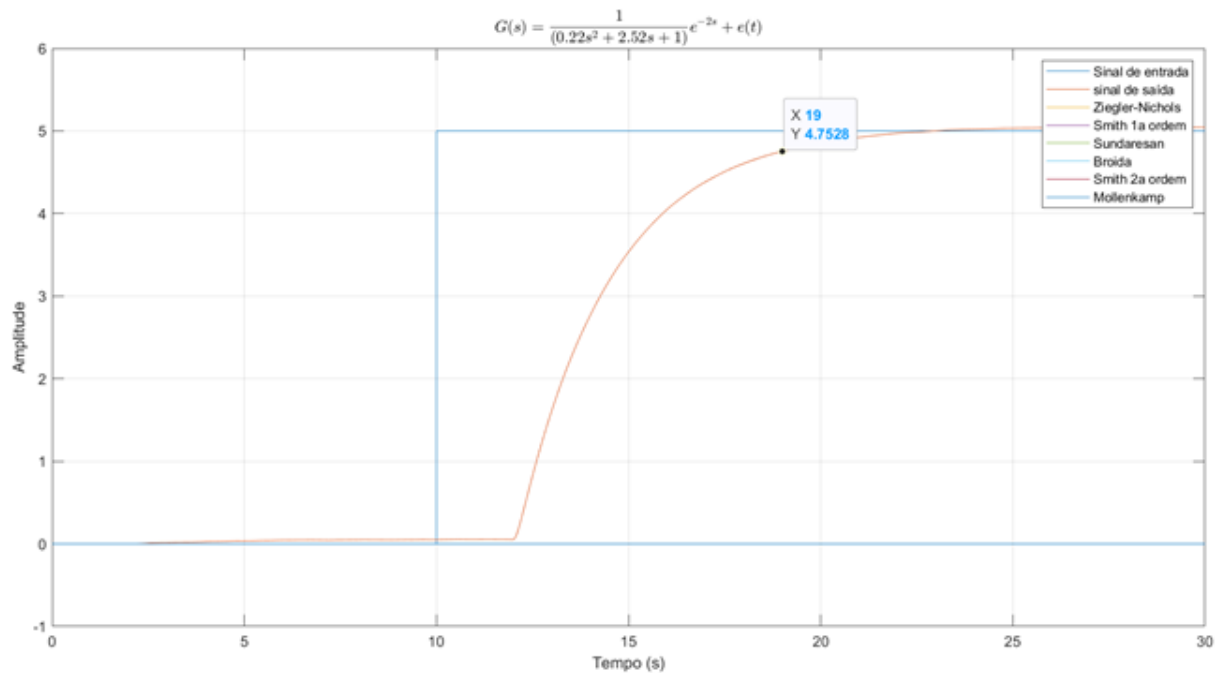




- Com a simulação dos métodos, pudemos constatar que o melhor método para representar o comportamento matemático do circuito elétrico é o método de smith 1ª ordem, pois foi o que mais se aproximou graficamente da função $G(s)$ calculada.

Tempo de Amostragem





$t_{95\%} = 7$ segundos

Determinando o tempo de amostragem pelo método de Isermann & Munchhof:

$$\frac{t_{95\%}}{15} \leq ta \leq \frac{t_{95\%}}{5}$$

$0,47 \leq ta \leq 1,4$ segundos

Sendo assim, por consenso foi decidido utilizar o tempo de amostragem de 0,5 segundos.

3. Projete um controlador PI e PID (na ação derivativa, incluam o filtro), utilizando a arquitetura ideal e cada método apresentado (ver item 8.1b). Utilizem o modelo estimado do item 1 e o modelo fenomenológico (ver projeto 1) para a sintonia dos parâmetros do controlador PID. Avaliem os controladores com índices qualitativos (IAE e ITAE).

Controlador PI

Rotina de Programação

```
%{  
simulação com circuito RC.  
a = Circuit_RC.signals.values(:,1);  
b = Circuit_RC.signals.values(:,2);  
tempo = Circuit_RC.time;  
figure(), plot(tempo,a),hold on, plot(tempo,b)  
xlabel('time (seconds)')  
ylabel('voltage (Volts)')  
title('RC Circuit Step Response')  
axis([0 5 0 2.5])  
%}  
%{  
teoria da resposta da frequencia  
s = tf('s');
```

```
R = 320000; % resistencia RC circuit
C = 101*10^-6; % capacitancia no RC circuit
G = 1/(C*R*s+1); % RC circuit função transferencia
bode(G)

title('RC Circuit Frequency Response (R = 320 kOhm, C = 101 uF)')

%}

%{

aquisição de dados no simulink

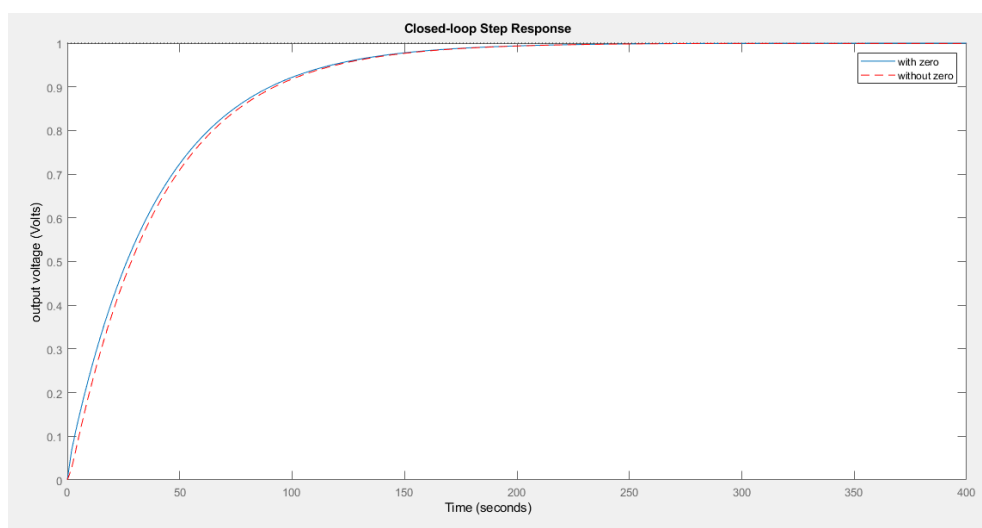
T=4; % Período da entrada da onda quadrada

Ts=0,05; % de tempo de amostragem empregado no modelo Simulink

N=T/Ts; % Número de amostras por período

%}
```

Gráfico Gerado



Obs: Para algumas partes requer a plotagem de novos gráficos (Sis: PI)

Controlador PID

Rotina de Programação

```
%{
```

Vamos primeiro ver a resposta ao degrau em malha aberta.

```
s = tf('s');
```

```
P = 1/(0.22*s^2 + 2.52*s + 1);
```

```
step(P)
```

```
%}
```

```
%{
```

A partir da tabela mostrada acima, vemos que o controlador proporcional (K_p) reduz o tempo de subida, aumenta o overshoot e reduz o erro em regime permanente.

A função de transferência de malha fechada do nosso sistema de feedback unitário com um controlador proporcional é a seguinte, onde $X(s)$ é nossa saída (igual $Y(s)$) e nossa referência $R(s)$ é a entrada:

```
Kp = 300;
```

```
C = pid(Kp)
```

```
T = feedback(C*P,1)
```

```
t = 0:0,01:2;
```

```
passo(T,t)
```

```
%}
```



```
%{
```

Agora, vamos dar uma olhada no controle PD. A partir da tabela mostrada acima, vemos que a adição do controle derivativo (K_d) tende a reduzir tanto o overshoot quanto o tempo de acomodação. A função de transferência em malha fechada do sistema dado com um controlador PD é:

```
Kp = 300;
```

```
Kd = 10;
```

```
C = pid(Kp,0,Kd)
```

```
T = feedback(C*P,1)
```

```
t = 0:0,01:2;
```

```
passo(T,t)
```

```
%}
```

```
%{
```

Antes de prosseguir com o controle PID

vamos investigar o controle PI.

A partir da tabela, vemos que a adição de controle integral (K_i) tende a diminuir o tempo de subida

Aumentar tanto o overshoot quanto o tempo de estabilização e reduzir o erro em regime permanente.

Para o sistema dado, a função de transferência em malha fechada com um controlador PI

```
Kp = 30;
```

```
Ki = 70;
```

```
C = pid(Kp,Ki)
```

```
T = feedback(C*P,1)
```

t = 0:0,01:2;

passo(T,t)

%}

%{

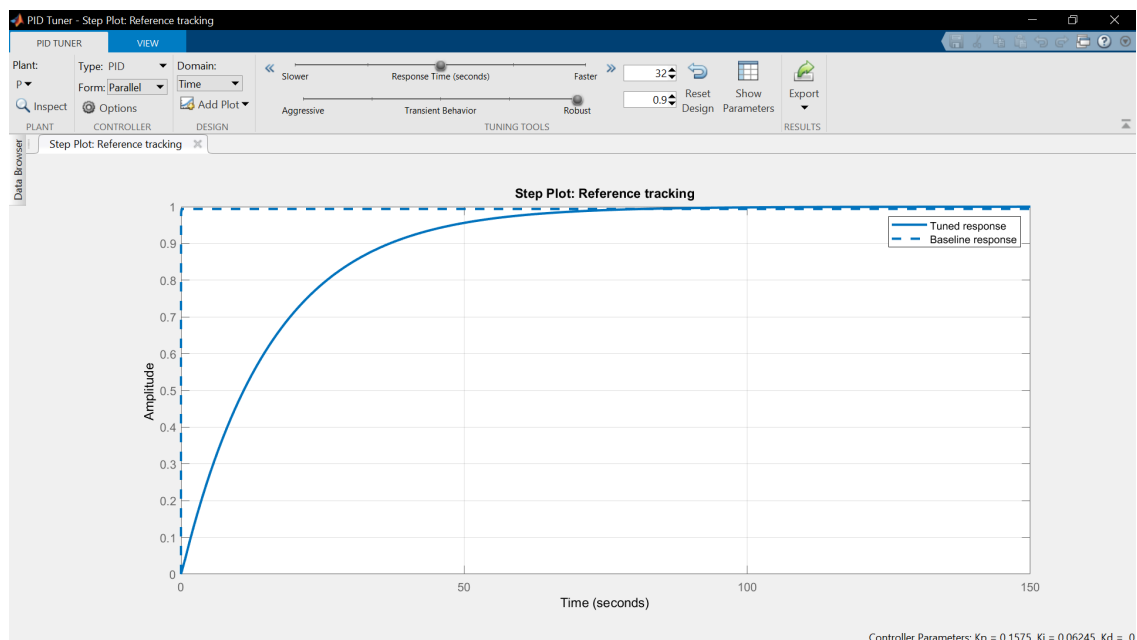
Agora, vamos examinar o controle PID. A função de transferência em malha fechada do sistema dado com um controlador PID

Após várias iterações de ajuste, os ganhos $K_p = 350$, $K_i = 300$ e $K_d = 50$ forneceram a resposta desejada.

$K_p = 350$;

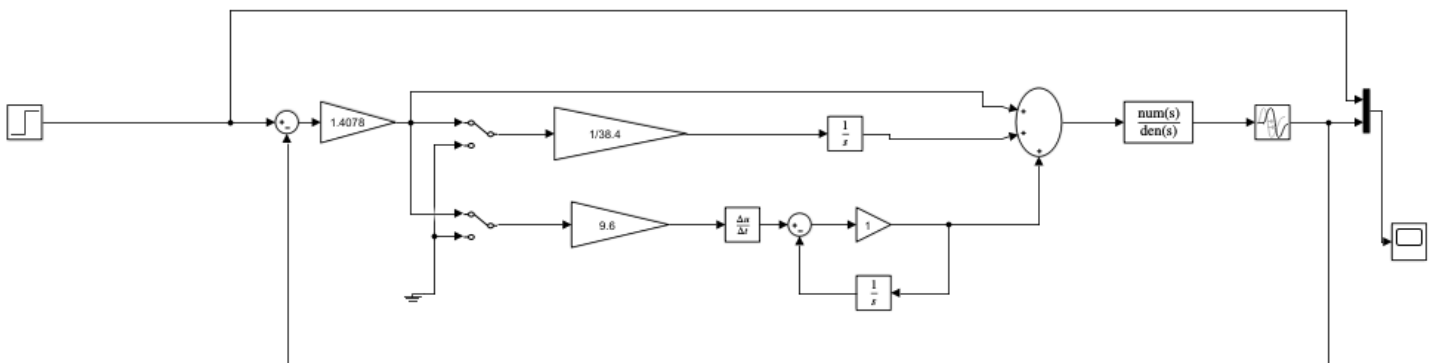
$K_i = 300$;

Gráfico Gerado



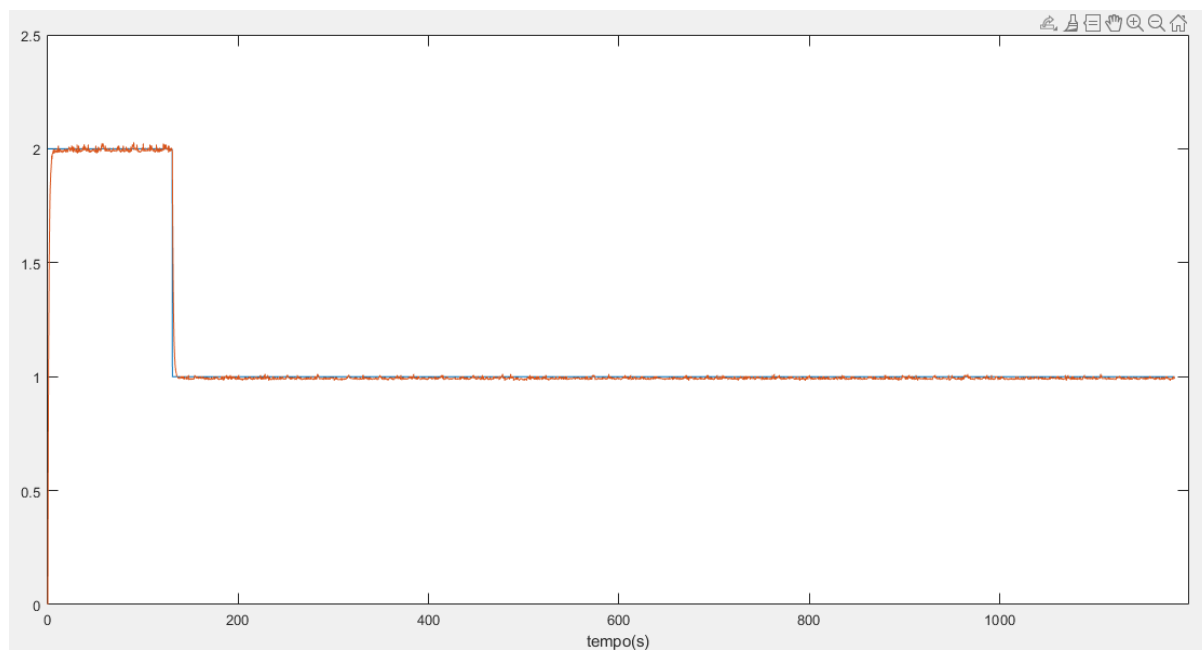
Obs: Para algumas partes requer a plotagem de novos gráficos (Sis: PID)

Elaboração do Circuito PID via Simulink



Simulação com Circuito RC

```
a=Circuit_RC.signals.values(:,1);
b=Circuit_RC.signals.values(:,2);
tempo = Circuit_RC.time;
figure(), plot(tempo,a),hold on, plot(tempo,b)
xlabel('tempo(s)')
```



Circuito RC via Simulink

